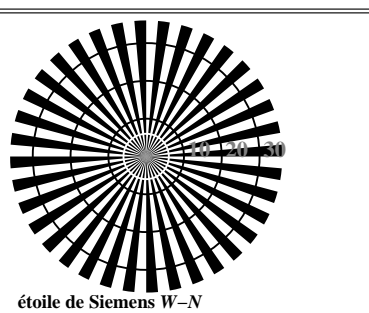
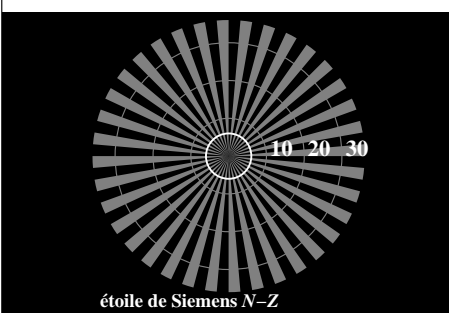


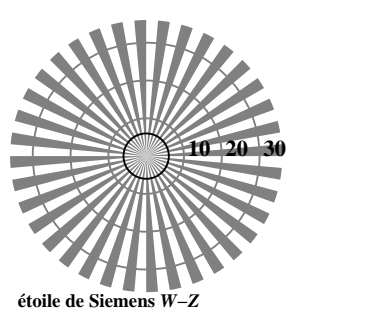
étoile de Siemens N-W



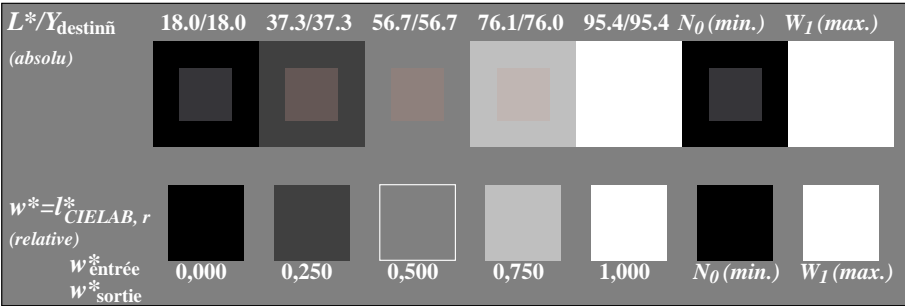
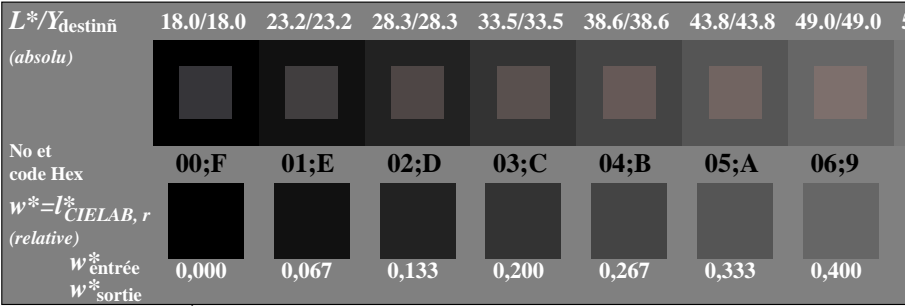
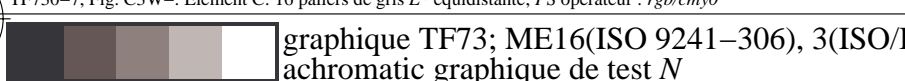
étoile de Siemens W-N



étoile de Siemens N-Z



étoile de Siemens W-Z

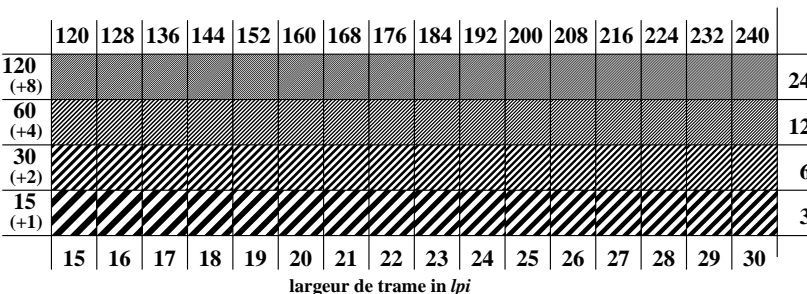
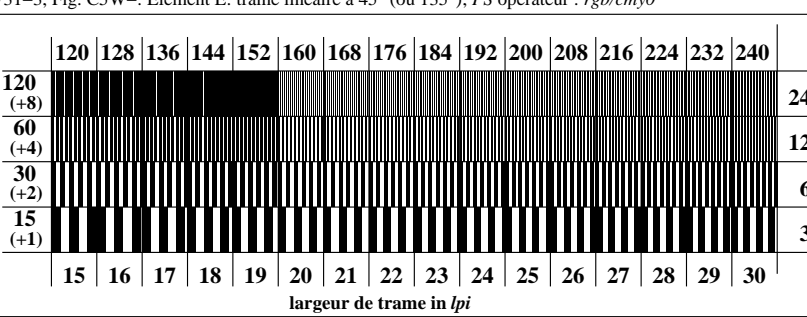
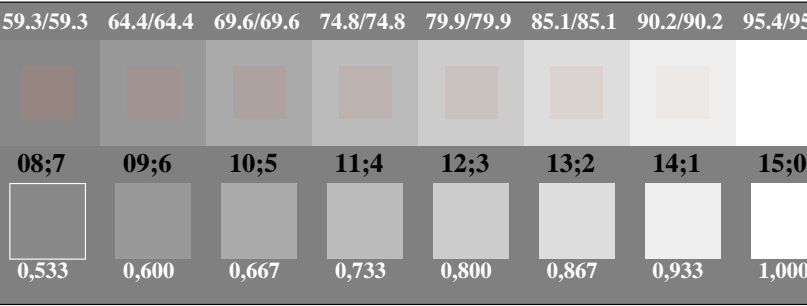
TF730-3, Fig. C1W-: Élément A: étoile de Siemens N-W, W-N, N-Z et W-Z; PS opérateur : *rgb/cmy0*TF730-5, Fig. C2W-: Élément B: 5 paliers de gris L^* équidistante + $N_0 + W_I$; PS opérateur : *rgb/cmy0*TF730-7, Fig. C3W-: Élément C: 16 paliers de gris L^* équidistante; PS opérateur : *rgb/cmy0*graphique TF73; ME16(ISO 9241-306), 3(ISO/IEC 15775)
achromatic graphique de test Néchelonnement du 0
font code hex

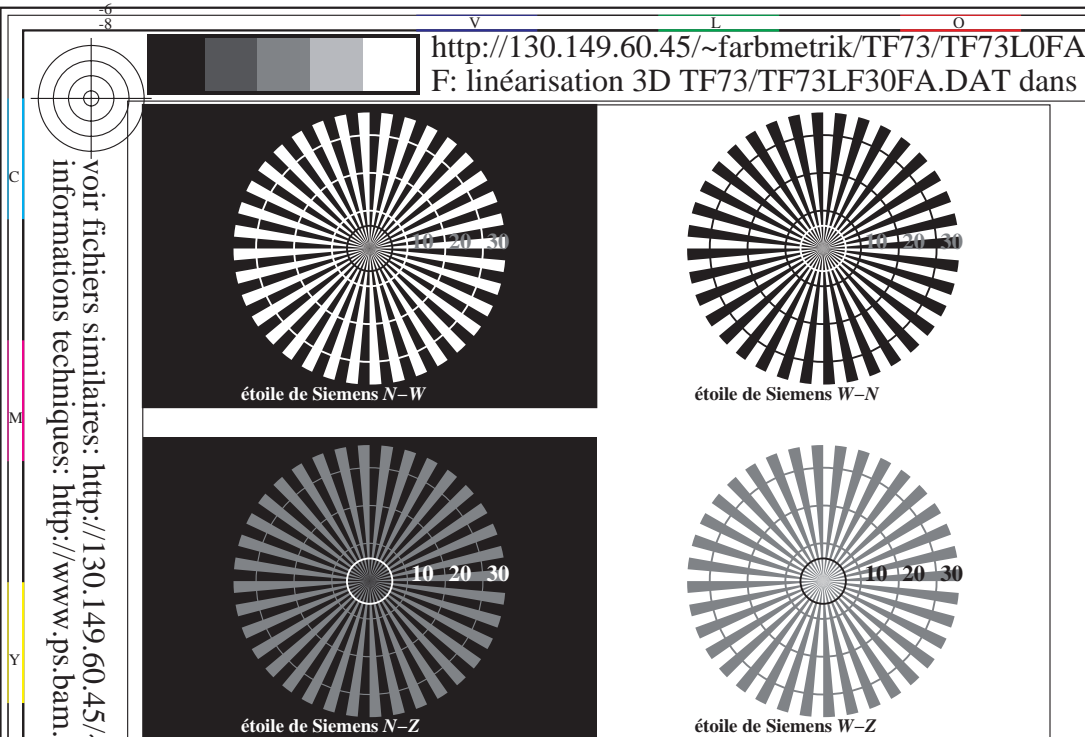
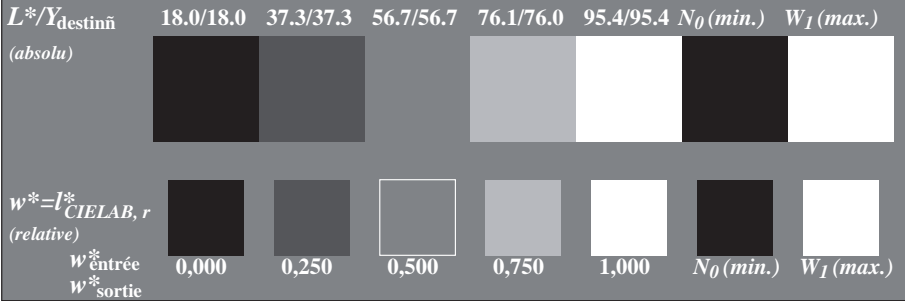
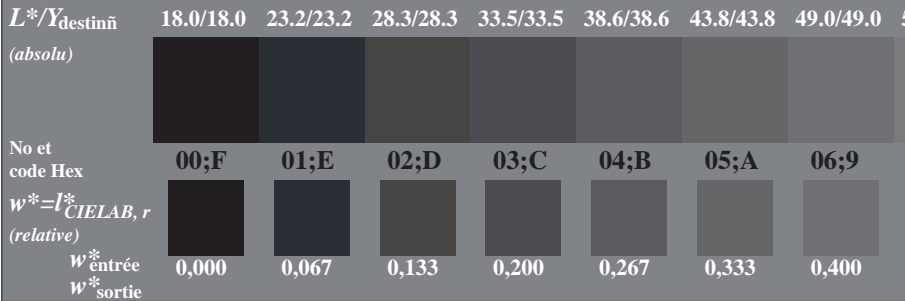
7	0	0	0	0	0	0	0
E	0	0	0	0	0	0	0
2	0	0	0	0	0	0	0
8	0	0	0	0	0	0	0
F	0	0	0	0	0	0	0

1	échelonnement 0-1 anneau de Landolt	0-1
8		7-8
F		E-F
0		2-0
6		8-6
D		F-D

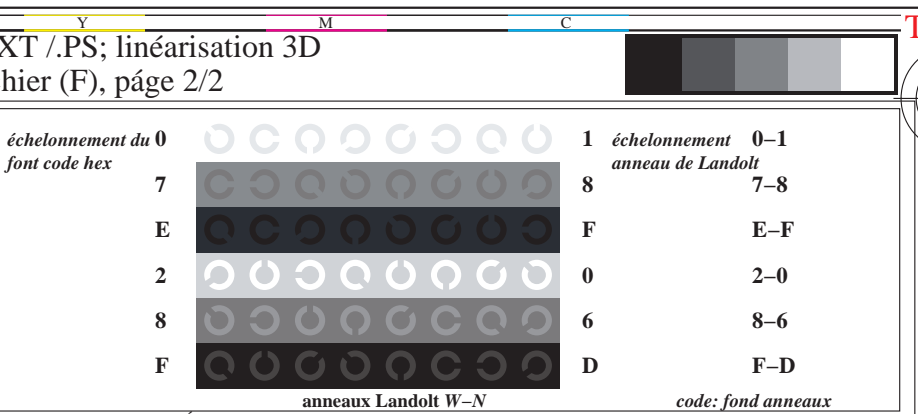
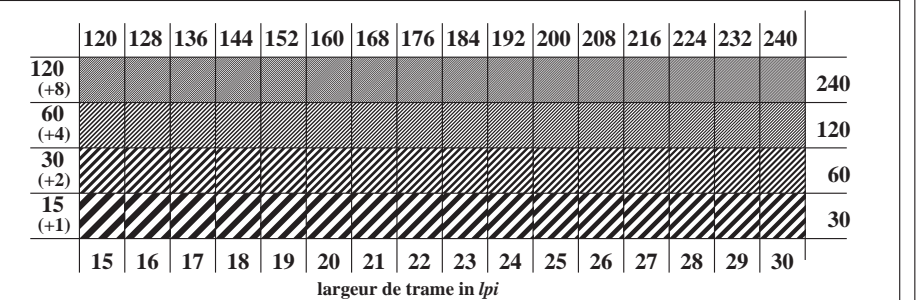
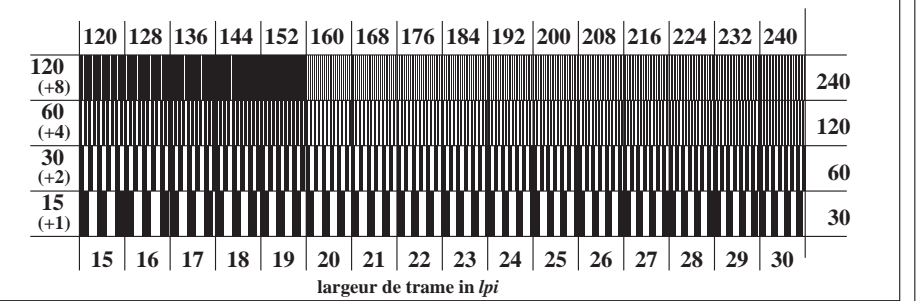
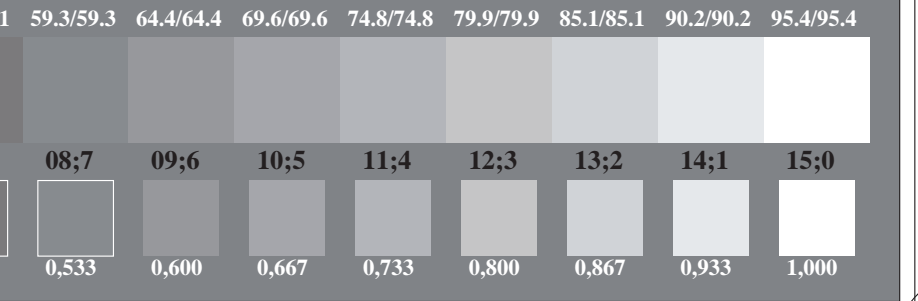
anneaux Landolt W-N

code: fond anneaux

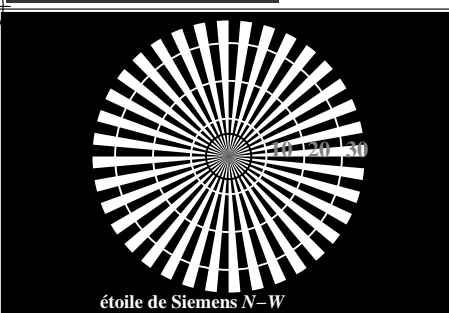
TF731-1, Fig. C4W-: Élément D: anneaux Landolt W-N; PS opérateur : *rgb/cmy0*TF731-3, Fig. C5W-: Élément E: trame linéaire à 45° (ou 135°); PS opérateur : *rgb/cmy0*TF731-5, Fig. C6W-: Élément F: trame linéaire à 90° (ou 0°); PS opérateur : *rgb/cmy0*entrée : *rgb/cmyk* → *rgb/cmyk*
sortie : aucun changement

TF730-3, Fig. C1Wdd: Élément A: étoile de Siemens N-W, W-N, N-Z et W-Z; PS opérateur : *rgb/cmy0*TF730-5, Fig. C2Wdd: Élément B: 5 paliers de gris L^* équidistante + $N_0 + W_I$; PS opérateur : *rgb/cmy0*TF730-7, Fig. C3Wdd: Élément C: 16 paliers de gris L^* équidistante; PS opérateur : *rgb/cmy0*

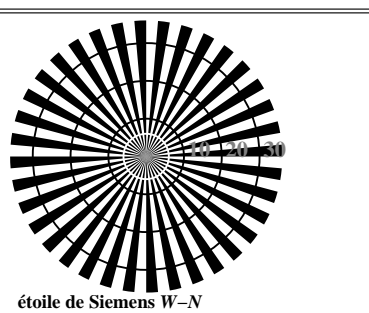
graphique TF73; ME16(ISO 9241-306), 3(ISO/IEC 15775)
achromatic graphique de test N, 3D=1, de=0, cmyk*

TF731-1, Fig. C4Wdd: Élément D: anneaux Landolt W-N; PS opérateur : *rgb/cmy0*TF731-3, Fig. C5Wdd: Élément E: trame linéaire à 45° (ou 135°); PS opérateur : *rgb/cmy0*TF731-5, Fig. C6Wdd: Élément F: trame linéaire à 90° (ou 0°); PS opérateur : *rgb/cmy0*

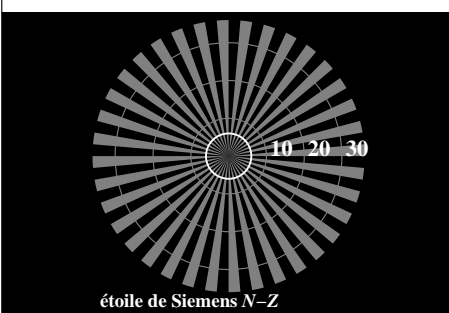
entrée : *rgb/cmyk* → *rgbdd*
sortie : linéarisation 3D selon *cmyk*dd*



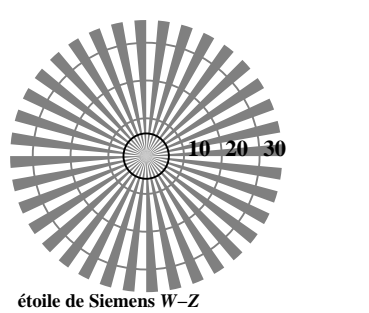
étoile de Siemens N-W



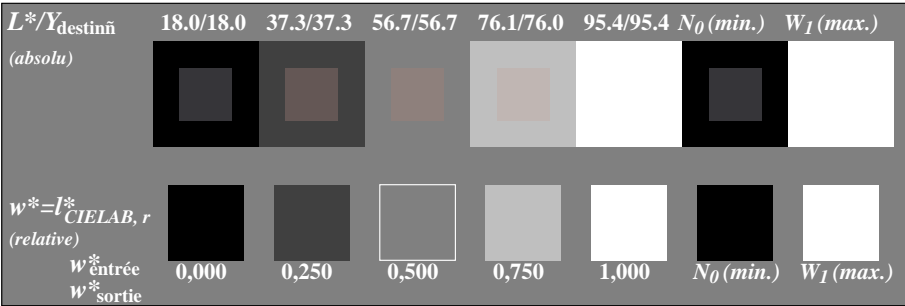
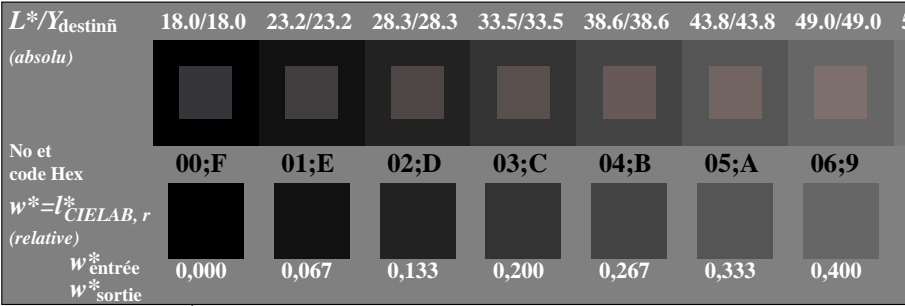
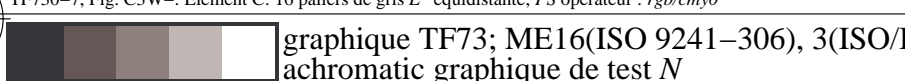
étoile de Siemens W-N



étoile de Siemens N-Z



étoile de Siemens W-Z

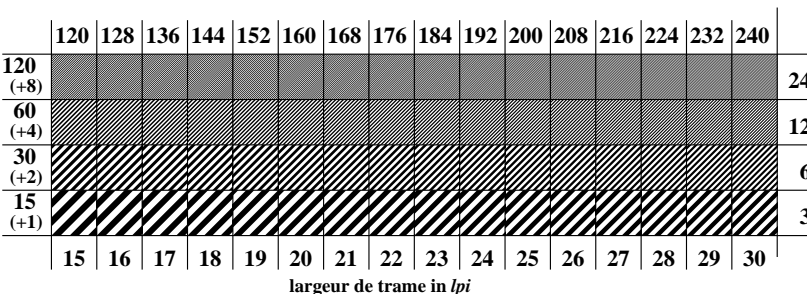
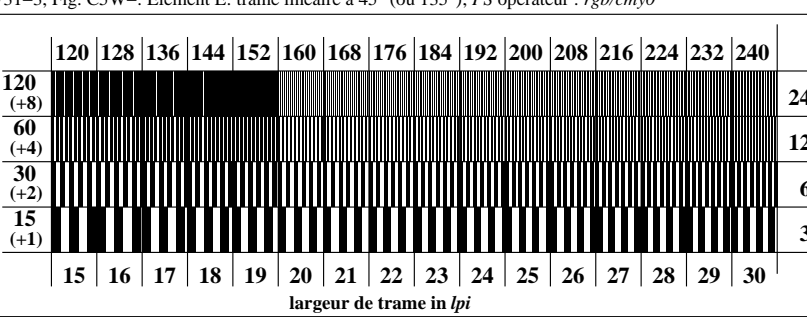
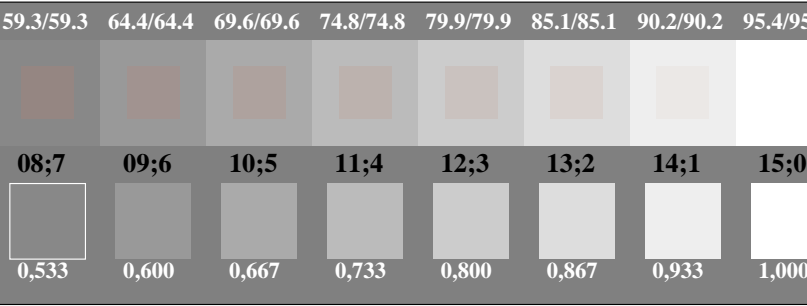
TF730-3, Fig. C1W-: Élément A: étoile de Siemens N-W, W-N, N-Z et W-Z; PS opérateur : *rgb/cmy0*TF730-5, Fig. C2W-: Élément B: 5 paliers de gris L^* équidistante + $N_0 + W_I$; PS opérateur : *rgb/cmy0*TF730-7, Fig. C3W-: Élément C: 16 paliers de gris L^* équidistante; PS opérateur : *rgb/cmy0*graphique TF73; ME16(ISO 9241-306), 3(ISO/IEC 15775)
achromatic graphique de test Néchelonnement du 0
font code hex

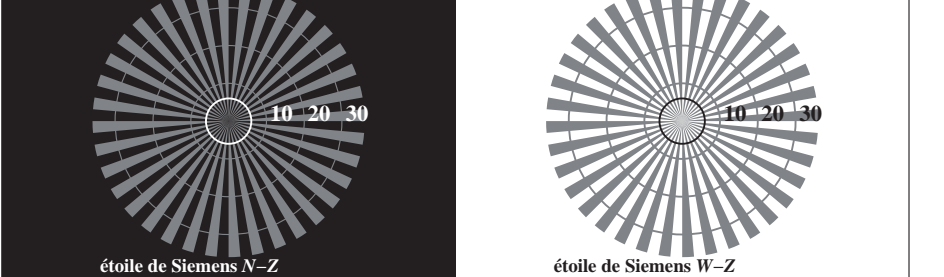
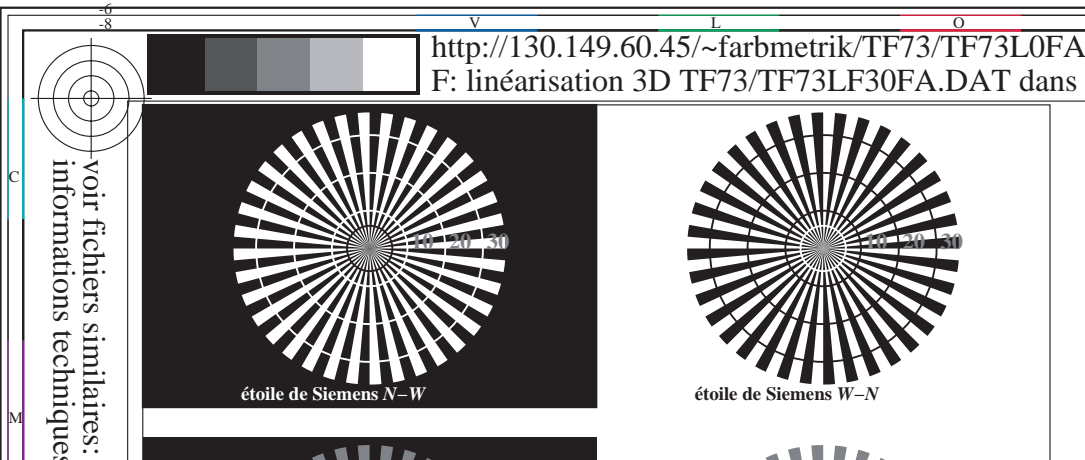
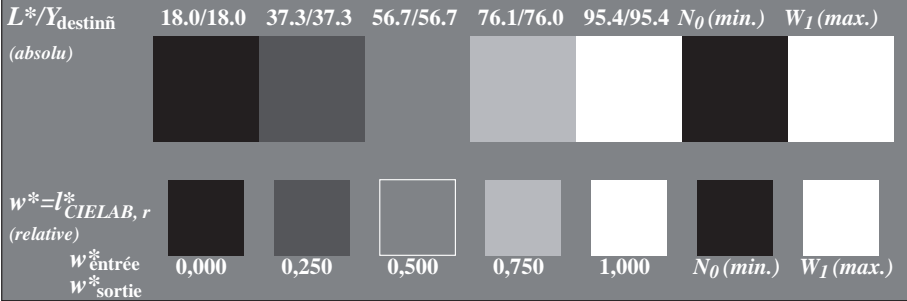
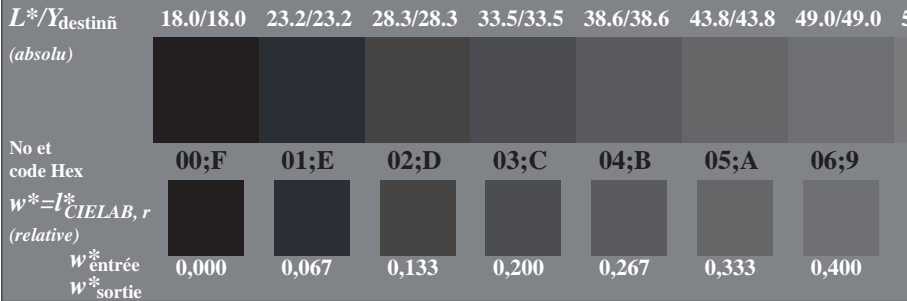
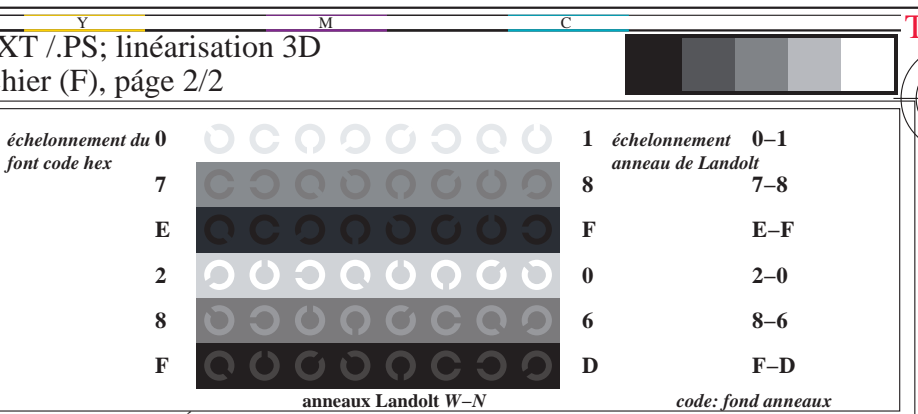
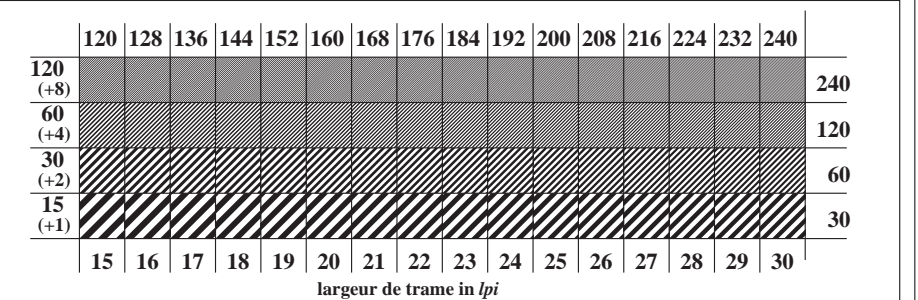
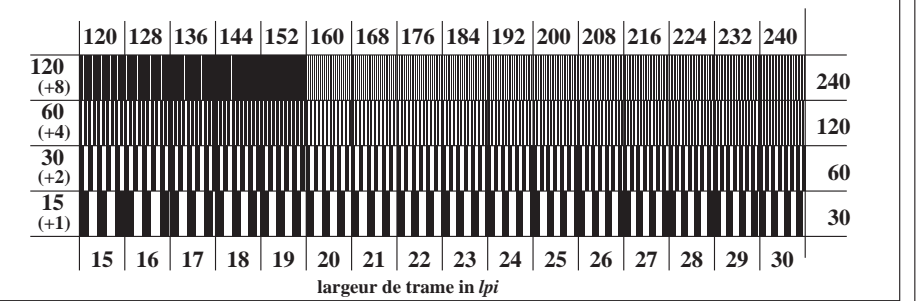
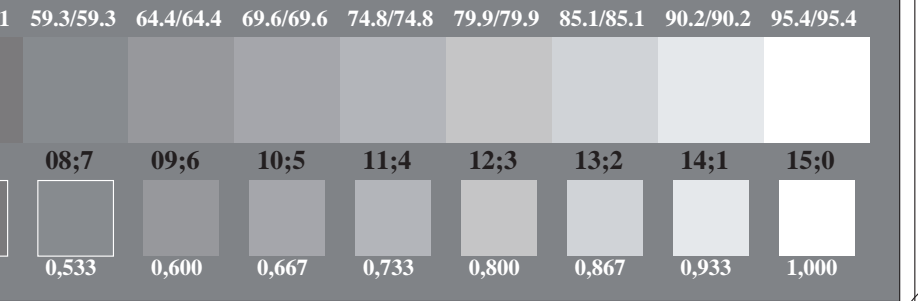
7	0	0	0	0	0	0	0
E	0	0	0	0	0	0	0
2	0	0	0	0	0	0	0
8	0	0	0	0	0	0	0
F	0	0	0	0	0	0	0

1	échelonnement 0-1 anneau de Landolt	0-1
8		7-8
F		E-F
0		2-0
6		8-6
D		F-D

anneaux Landolt W-N

code: fond anneaux

TF731-1, Fig. C4W-: Élément D: anneaux Landolt W-N; PS opérateur : *rgb/cmy0*TF731-3, Fig. C5W-: Élément E: trame linéaire à 45° (ou 135°); PS opérateur : *rgb/cmy0*TF731-5, Fig. C6W-: Élément F: trame linéaire à 90° (ou 0°); PS opérateur : *rgb/cmy0*entrée : *rgb/cmyk* → *rgb/cmyk*
sortie : aucun changement

TF730-3, Fig. C1Wde: Élément A: étoile de Siemens N-W, W-N, N-Z et W-Z; PS opérateur : *rgb/cmy0*TF730-5, Fig. C2Wde: Élément B: 5 paliers de gris L^* équidistante + $N_0 + W_1$; PS opérateur : *rgb/cmy0*TF730-7, Fig. C3Wde: Élément C: 16 paliers de gris L^* équidistante; PS opérateur : *rgb/cmy0*TF731-1, Fig. C4Wde: Élément D: anneaux Landolt W-N; PS opérateur : *rgb/cmy0*TF731-3, Fig. C5Wde: Élément E: trame linéaire à 45° (ou 135°); PS opérateur : *rgb/cmy0*TF731-5, Fig. C6Wde: Élément F: trame linéaire à 90° (ou 0°); PS opérateur : *rgb/cmy0*

entrée : *rgb/cmyk* → *rgb_{de}*
sortie : linéarisation 3D selon *cmyk_{de}*

